

新日本製鐵(株) 八幡製鐵所 戸田秀夫  
 釜石製鐵所○宇野成紀 大水 勝  
 光和精鋅(株) 北沢忠雄 (株)鐵原 棟方雪郎

1. 緒 言

製鉄工場より発生する各種ダスト類は、その大部分を、焼結原料として回収使用しているが、高炉湿ダストについては、Zn含有率が高いため、ほとんど利用できなかった。高炉湿ダストの脱Zn法としては、還元処理方式が知られているが、新日本製鐵(株)では、より簡易、安価な方式として、液体サイクロンによるZnの分級分離法を開発し、実機化した<sup>1), 2), 3)</sup>。本方式は湿ダスト中のZn, Pbなどが、微細粒域に偏在していることに着目し、効果的な分級によって、低Znの湿ダストを得るもので、1977年4月釜石製鐵所に設備を建設、運転開始した。この脱Zn処理によって、高炉湿ダストの安定使用が図られるとともに、焼結、高炉操業に良好な効果を示しているため、その概要を報告する。

2. 高炉湿ダスト中の亜鉛、鉛の存在形態

本方式の開発にあたって、湿ダスト中の各種鋳物の存在状態を調査した。

2.1 粒度別分布

2.1.1 ふるい網による篩分け

高炉湿ダストスラリーを、250~44 $\mu$ mの標準篩でふるい分け、Zn, Pb等の粒度別分布を調べた。その結果、表1に示すように、Zn, Pbは微細部分に偏在しており、微細粒子をふるい分けるとZn, Pbの大部分は除去でき、粗粒部分は、製鉄原料として利用できる可能性のあることがわかった。

2.1.2 サイクロサイザーによる分級

高炉湿ダスト中のZn, Pbを多く含んだ微細粒子を分離するには、分級処理、特に後述する液体サイクロンによる分級が有望と考えられた。そこで分級の基礎データを得るため、Warman社製サイクロサイザーを用いて、湿ダストの粒度別分布および、Zn, Pbの粒度別分布を調べた。

試験結果の一例を図1に示す。累積重量曲線を見ると、ストークス径15 $\mu$ m付近から急に上昇している。

一方、Zn, Pb分布曲線は15 $\mu$ mよりも細粒部の累積分布率がきわめて高く、15 $\mu$ m以上の勾配はそれほど大きくない。

したがって最適分級径は、ストークス径15 $\mu$ m付近であり、これよりも分級径を大きくすると、Zn, Pb除去率は若干向上するが、図1 Fe, C等の回収物量が急激に減少する。

分級径を小さくしても、回収物量はそれほど増加せず、同時にZn, Pbの除去率もやや低下するので、いずれも好ましくない。

表1 高炉湿ダストの粒度分布および化学成分の粒度別分布

粒径 ( $\mu$ m)	重量 分布率 (%)	Zn		Pb		Fe		C	
		品位 (%)	分布率 (%)	品位 (%)	分布率 (%)	品位 (%)	分布率 (%)	品位 (%)	分布率 (%)
+250	8.5	1.84	3.3	0.27	3.3	7.4	2.2	75.4	16.3
250 ~149	11.9	1.06	2.6	0.19	3.1	13.1	5.6	66.8	20.2
149 ~74	13.7	0.86	2.5	0.16	3.1	22.0	10.7	55.6	19.4
74 ~44	11.3	0.82	1.9	0.18	2.7	39.2	15.8	31.6	9.1
-44	54.6	7.89	89.7	1.15	87.8	33.7	65.7	25.2	35.0
平均		4.80		0.71		28.0		39.3	

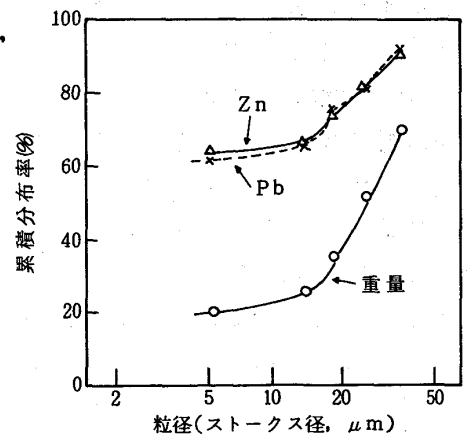


図1 サイクロサイザーによる高炉湿ダストの粒度分布およびZn, Pbの粒度別分布

以上の実験結果から、高炉湿ダスト中のZn, Pbは微細粒域に偏在しており、最適分級径15 μm付近で分級すると、回収物は供給物の70<sup>wt</sup>%, Zn, Pbの除去率は60~70%となることがわかった。

2.2 存在形態

分級回収物から、さらにZn, Pbを除去することと、分級微細粒部のZn, Pbの濃縮の可能性を探るため、高炉湿ダスト中のZn, Pbの存在形態を調査した。写真1に湿ダスト粒度20~50 μmの特性X線像の一例を示す。

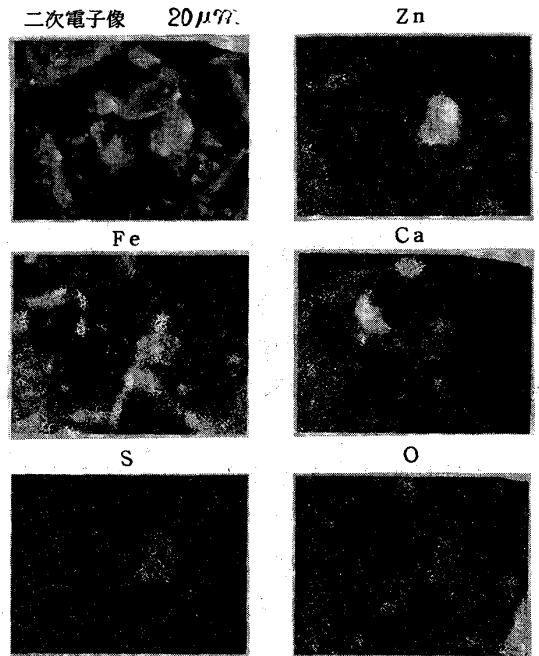
これらの写真およびX線回折の結果等から、以下のように推定された。

- 1) Znは、硫化物、酸化物、ジンクフェライト、Zn, Pbを含んだカルシウムフェライト、金属状Zn、らしきもので存在する。
- 2) 粒度別には存在状態の顕著な差はないが、粒径10 μm以下の微細粒子には、硫化物および金属状Znらしきものがやや多い傾向がある。

なお、Pbは微量のため、EPMAでは存在形態を推定できなかった。

このように、湿ダスト中のZnは種々の鉱物形態で存在し、かつ粒度別の形態の差もほとんどないため、化学反応等を加えない簡単な処理で、さらにZnを分離することは困難と判断された。

写真1 湿ダストの特性X線像



3. 液体サイクロンによる分級試験

高炉湿ダストを15 μm程度の粒径で効率良く分級する手段として、設備構造が簡単で、かつ大量処理も可能な液体サイクロンを選び、図2の実験装置により分級試験を行なった。

サイクロンは図に示すように、オーバーフローパイプが水封された負圧式液体サイクロンを用いた。この負圧式サイクロンは、サイフォン内部が負圧になっており、サイフォン圧を変えることによって分級点を微調整でき、また、アンダーフロー部の逆止弁によって安定した性能が得られる。

分級試験は、供給スラリーダスト濃度10~20%, フィード圧0.5~1.0 kg/cm<sup>2</sup>, オーバーフローサイフォン圧50~100 mm Hgの範囲で実施した。

図3はフィード圧、サイフォン圧と、アンダーフローへのダスト回収率、Zn混入率の関係を示したものであるが、フィード圧、サイフォン圧を

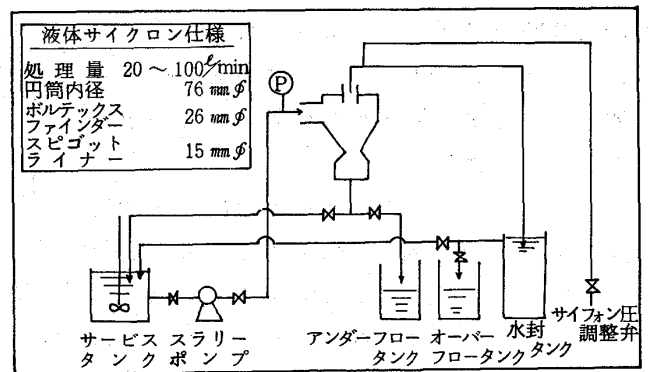


図2 分級試験フロー

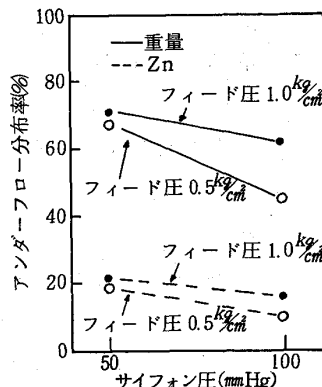


図3 フィード圧、サイフォン圧とアンダーフローダスト回収率、Zn混入率の関係

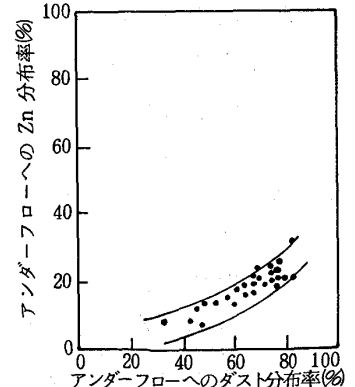


図4 ダスト分布率とZn混入率の関係



3～5%に対し、焼結原料として回収使用するアンダーフローダストのZnは、ほぼ1%で推移している。一方、分離除去したオーバーフローダストのZnは、8～15%に達し、Znの除去率は60～80%になっている。さらに、Fe、C含有率をみると、表2に示すように、アンダーフローダストのFe、C含有率は、フィードダストよりも濃縮されており、資源価値を高めている。

分級後の高炉湿ダストの粒度分布の測定例を図7に示す。DA粒径（アンダーフローダストおよびオーバーフローダストへ、それぞれ混入する微粒、粗粒割合が同一となる粒径）は12μmであり、良好な分級状況である。

なお、分級後のオーバーフローダストをサイクロサイザーで分別し、粒度毎に主要成分の分析を行なった。（表3）Znは大部分が10μm以下の粒度域に偏在しており、オーバーフローダスト分離の効果が確認された。

このように、脱Zn処理後の高炉湿ダストのZnは大幅に低下した。

そこで従来、高炉湿ダストは高炉へのZn装入力規制範囲内で使用調整していたが、処理設備稼働後は発生分のほか、置場に貯蔵している高炉湿ダストも、処理し使用している。

その結果、図8に示すようにミニペレット中のCは5～6%迄上昇し、焼結粉コークス原単位は約2kg/t低下した。

また、高炉へのZn装入量は、従来0.3kg/t程度であったが、脱Zn処理後は0.2kg/t以下で安定して推移している。

6. 結 言

高炉湿ダスト中のZn、Pbなどが、微細粒域に偏在していることに着目し、液体サイクロンによるZn、Pbの分級分離法を開発し、実機化した。

分級処理後の低Zn湿ダストは、各種のダスト類とともに、ミニペレットとし、焼結原料として有効に回収使用している。

参考文献

- 1) 戸田秀夫；鉄と鋼，Vol. 63-No. 4（1977）. S 57
- 2) 日本鉄鋼協会共同研究会，第51回製鉄部会・鉄51-9-共
- 3) 戸田秀夫 宇野成紀；製鉄研究，No. 295（1978），昭和53年6月

表2 分級によるFe、C含有率の変化

（1977年6月～1978年1月実績）

	重量分布率 (%)	Fe		C	
		品位 (%)	分布率 (%)	品位 (%)	分布率 (%)
オーバーフローダスト	27.1	24.61	19.2	26.28	26.2
アンダーフローダスト	72.9	38.50	80.8	27.46	73.8
フィードダスト		34.74		27.14	

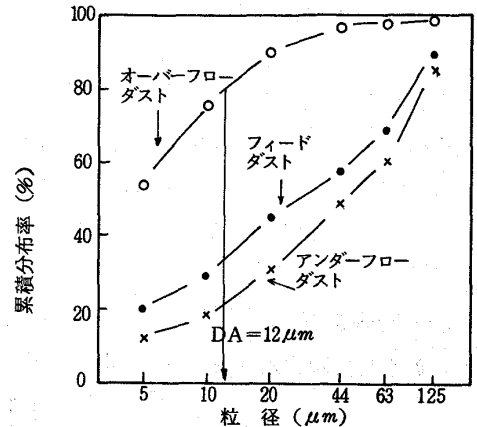


図7 分級後のダスト粒度

表3 オーバーフローダストの粒度別成分

粒径 (μm)	重量分布率 (%)	Zn		Fe		C	
		品位 (%)	分布率 (%)	品位 (%)	分布率 (%)	品位 (%)	分布率 (%)
+18	2.1	0.96	0.2	22.68	2.8	50.40	4.6
18～10	8.3	1.50	0.9	31.99	14.8	32.05	11.5
-10	89.6	14.50	98.9	16.36	82.4	21.62	83.9
平均		13.14		17.78		23.16	

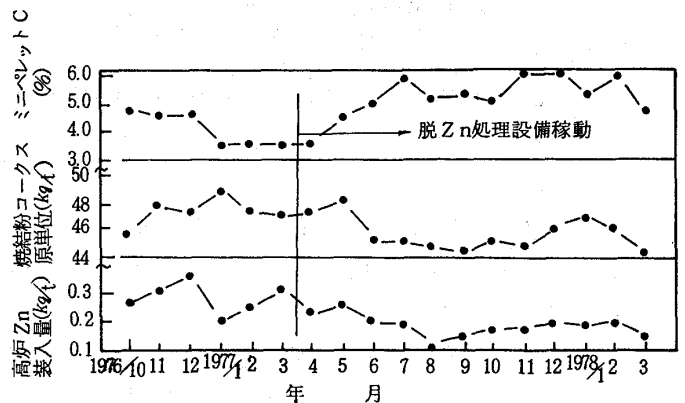


図8 ミニペレットC、焼結粉コークス原単位、高炉Zn装入量の推移